

高張力ボルト継手についての 2 ~ 3 の実験

(せり耐力、応力分布および疲労強度)

友 永 和 夫 *
大 宮 克 己 **
○田 島 二 郎 ***
小松原 政 次 ****

1. まえがき

高張力ボルト摩擦接合については、近年多くの実験が行われ、その特性を解明すべく研究が進められている。我が国では、1954年に国鉄トラスに使用されたのに始まり、建築学会においては、1959年12月、この接合方法についての規準案が発表され、リベット結合において得られない利点を認められて各所においてその採用が見られるようになった。

この接合方法の力学的長所としては、ボルト孔周縁の応力集中が小さいことがあげられ、従って、疲労強度はリベット継手または摩擦力を考慮しないボルト継手に比し大きく、継手剛性が大で、或る条件のもとでは、ボルト孔の影響を無視して設計できることも考えられる。また継手が明瞭なせりを生ずるまでを継手の耐荷力とし、適当な安全率を考慮して許容耐力を考える場合、継手材片間の接触面を摩擦が大きくなるように処理し、材片間に与える圧力を大きくする。すなわち高強度のボルトで強力に締付けることにより、継手の耐荷力を増大することができ、または所要のボルト数を減らすこともできる。

しかし、応力集中の程度、せり耐力等については、その大きさに影響を与える各種の因子があり、そのそれぞれの場合について、未だ研究すべき多くの問題を残している。

現在我が国で行われている高張力ボルト継手の設計方法は、リベット継手の設計方法に準じただ、ボルト 1 本当りの許容耐力として

$$(\text{ボルト締付力}) \times (\text{摩擦係数}) / (\text{安全率})$$

をとて設計される場合がほとんどである。これに対して、高張力ボルト継手としての特性を十

* 工博 国鉄構造物設計事務所 所長 工博

** 鉄道技術研究所 主任研究員 (現在 川崎重工鉄構部)

*** 国鉄構造物設計事務所 主任技師

**** 鉄道技術研究所 研究員

分に現した設計方法を求めるようとして現在研究を進めているものであるが、以下に述べる実験は、それらの試験の一部をなすものである。

実験において使用した母材は、 41 Kg/mm^2 鋼、 50 Kg/mm^2 鋼、 60 Kg/mm^2 鋼である。母材の強度が高くなるに従い、現在 S S 50、S M 50 に使用されているリベット材 S V 4 1 に代る高強度のリベットが強さの点からは望ましいのであるが、材質やリベット締め等の問題から、未だ一般的に利用されていない。この場合にも、摩擦力で応力を伝達するこの方法が、前に述べたような特性からみて、特に望ましいものとなろう。

2. 継手の辺りおよび摩擦係数

ボルトにより締付けた重ね継手に引張力が作用した場合、材片間の摩擦力によって材片相互のずれは拘束され、母板から添接板に応力が流れる。この場合、材片には引張応力により伸びが生じ、この伸び量が或る程度をこえると、摩擦力により材片接触面相互のずれを拘束して動かないようにしておくことは不可能になり、或る程度材片間には辺りが生じてくる。さらに荷重が増加すれば摩擦力が破れ、継手は急激に大きな辺りを生ずる。この継手材片間の辺りの模様は、材片接触面の状況、継手の形状、ボルトの配置等によって種々の性状を示すもので、高張力ボルト継手において辺り荷重の定義を「摩擦面が明瞭な辺りを起こすときの荷重」としても、その限度を各種の継手に対し材片間の辺り量を以て数値的に示すことはむづかしい。しかし、現在では実用上摩擦継手と称し得るものにおいては、継手部分の伸びが継手材片間の辺りを伴って急激に増大する荷重が明かな場合が多いので、そのときの荷重を以て辺り荷重と称している。

図-1は荷重と継手の伸びとの関係を示した1例で、ボルト締付力が0である T P 6-1 を除いては、継手の明かな辺りが求められている。なお、この図から、継手部分に関する応力と伸びとの比、すなわち鋼材のヤング係数に相当する値 C を求めてみると、応力としては母板の総断面積についての値をとり、摩擦継手では辺りを生じない荷重の範囲とし、継手をはさんでとった G.L. 400 で計算すれば、T P 6-2, 4, 5, 6 および T P 9-1 は $C = 2.1 \times 10^6 \text{ Kg/cm}^2$ 、G.L. 750 の間で T P 7-1 は $C = 2.3 \times 10^6 \text{ Kg/cm}^2$ となる。リベット継手 T P 6-R は辺りが橋梁示方書に規定されている許容応力以下において生じ、その辺り量も含めて荷重 1.5 t (継手母板の許容荷重に等しい)までの傾斜から計算すると $C = 0.7 \times 10^6 \text{ Kg/cm}^2$ 、1.0 t から 2.5 t の傾斜からもほぼ同様な値となり、継手の剛性は摩擦継手に比べて相当小となっている。ただし、リベット継手の辺り量は、リベットがリベット孔をどの程度填充しているかによって異り、リベット締めの条件に左右されるから、継手によっていろいろな値を示すものであろう。し

かし、以下に述べる他の実験例からも同様な結果を得、摩擦継手に比し剛性は小となっている。

図-2は、 $7/8\text{ in}$ のボルト2本の試験片についての荷重と材片間の伸び量との関係を示したもので、TP1はショットブラストをかけ、継手を組立ててから4週間を経て引張試験を行ったもの、TP2はショットブラストをかけた同形の継手を4週間屋外に散水放置して赤錆を発生させ、組立前に接触面をワイヤブラシで軽く清掃した後組立て、直に引張試験を行ったもの、TP3はショットブラストをかけた同形の継手に合成樹脂接着剤（アラルダイト#103、硬化剤ハードナー#951、混合重量比100:8）

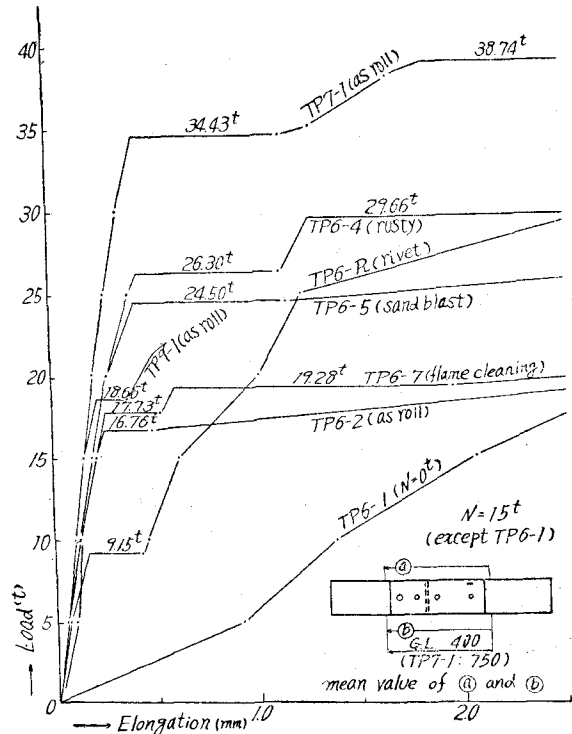


図-1 継手の伸び

を塗布して組立てた後屋内に保管し、4週間経過した後引張試験を行ったものである。引張試験を行った時期は、1961年6月末であり、気温は20°C～30°Cで高く湿度も大であったので、TP1は接触面にうすく赤錆が生じていた。また接着剤の養生も十分であったと考えられる。従って、TP1はショットブラスト処理の接触面としては大きな伸び耐力を示し、TP1およびTP2は大差なく、TP3がやや大きい伸び耐力を示した（伸び荷重は表-3参照）。この3種の試験片各3本づつのうち、伸び荷重が近かったTP1-1、TP2-1、TP3-1について図-2は示したが、荷重36tにおける伸び量は0.05mm、0.11mm、0.02mmで、

同様な伸び耐力であっても、摩擦が破れるまでの材片間の伸び量は、接触面の状態によって種々の差があるものである。

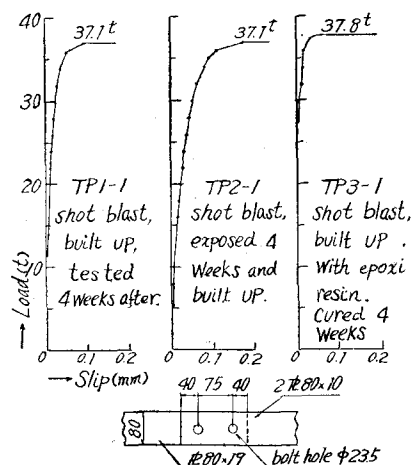


図-2 荷重と継手材片間の伸びとの関係

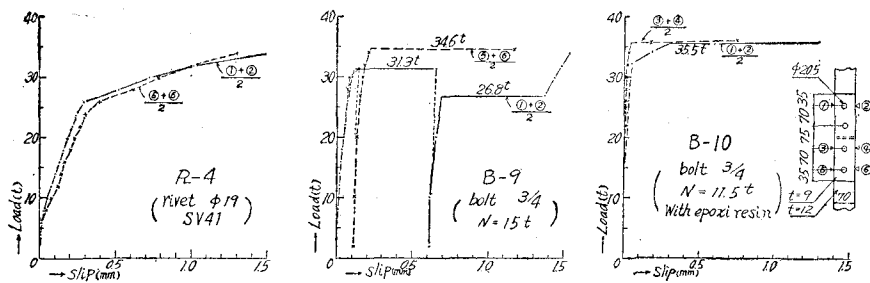


図-3 2 H 鋼 繰手 の 荷重 と 汚り

図-3は、母材には2 H鋼を使用し、 $3/4\phi$ のボルト2本またはSV41、 $\phi 19$ のリベット2本の試験片についての材片間の汚りを示したもので、SV41リベットの継手は、荷重2.6t（母板の純断面応力 43.1kg/mm^2 一板の降伏点の75%、リベットセン断応力は孔径をとつて 19.7kg/mm^2 —リベット材の引張降伏点の70%）あたりから汚りが急増しているが、摩擦継手B-9の汚り応力は、純断面につき計算して板の降伏点に近く、合成樹脂接着剤併用したB-10（アラルダイト#103、ハードナー#951、混合比100:8、30°C 80時間養生）の汚り応力は降伏点を数%超えている。

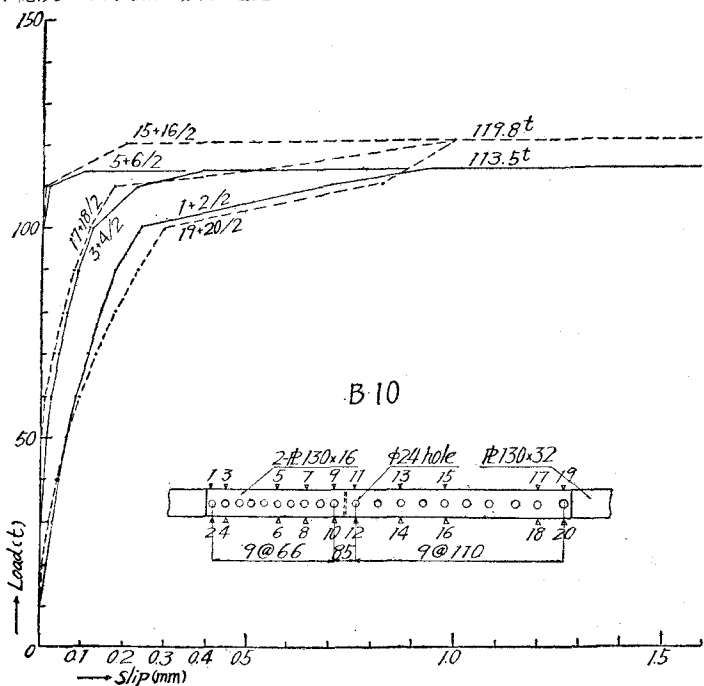


図-4 繰手端部、中央部における汚り

図一4は、1列に10本のボルトがならんだ継手についての荷重と材片間の辺り量との関係を示したもので、応力方向にボルト数が多くなると、端部における材片間の辺り量は非常に大きくなり、その量はボルトピッチの大きなものの方が大きい。

摩擦継手におけるボルト1本、1摩擦面当りの許容辺り耐力は、

$$(\text{ボルト締付力}) \times (\text{摩擦係数}) / (\text{安全率})$$

で計算される。この場合、摩擦係数は実験によって確認するか、経験上十分安全である値を仮定して行われるわけである。摩擦係数を求めるためには、実際と同じ継手の状態で辺り試験を行うことが望ましいが、一般には小型の試験片について行われるのが普通である。継手材片接触面間の摩擦係数は、接触面の処理状況により異なることはもちろんあるが、その他、接触面圧の大小、試験片の形状、すなわち試験片の巾、ボルト数およびピッチ等により差異を生ずるか否かが問題となる。摩擦係数確認の試験は、各種の工事において数多く行われてはいるが、ボルト締付力のばらつき、接触面の僅かの状況の違いによる摩擦係数の変化など、各種の要素が入り混って試験により得た辺り荷重のばらつきが大きく、上記のような各条件による差をつかむことはなかなかむづかしいが、摩擦係数を求めることは摩擦継手の基本的な問題であるから、これを明かにする必要がある。

表一1、表一2、表一3、表一4は、各種試験片による辺り試験の結果を示したものである。

表一1および表一2は、一つの突合せ継手の片方はボルトピッチ6.6 mm、他の側はピッチ11.1 mmとしたもので、それぞれの側の辺り荷重をみると、表一1のTP6-8の1例を除いてすべてピッチ6.6方の辺り耐力が約10%余り小さいことは注意すべきことである。試験片の巾の差による辺り耐力の差異は、これらの結果からははっきりは分らないが、表一1のTP6、TP-7は巾12.0 mm、TP9は巾8.0 mmでありその間の差は認められない。

応力方向1列のボルト数による辺り耐力の差異は、表一2でボルト数2本、8本、10本と数が多くなるに従って辺り荷重が減少していることが認められ、表一4のB-2(応力方向に2本)とB-1(応力方向に4本)についても4本の継手が2本の継手より10%弱辺り荷重が低くなっていることが分る。なお上記のそれぞれ比較した試験片は、同一鋼板から製作し、同時期に試験を行ったものである。

接触面の状況の差異による辺り耐力の変化は、各表でみる如くであるが、表面処理状況に対し同じ表現をとり得るものについても相当異った値を示しているから、施工に当っては十分な注意が必要である。

これら各試験のうち、辺り荷重の大きな継手は、辺り応力が板の降伏点をこえており、この場

表-1 通り試験成績

試験片 記号	材質	表面処理	リベットまたはボルト 配置	1本当たり 締付力(㎏)	通り荷重(㎏)	通り応力(kg/mm^2)	通り応力/ 降伏点		摩擦係数
							ピッチ110	ピッチ66	
TP6-R	S.S.41	黒皮	1 × 2	—	9.15	7.4	—	—	—
-1	"	"	"	0	—	—	—	—	—
-2	"	"	"	1.5	16.76	<	13.5	<	0.279 <
-3	"	"	"	1.3.2	14.98	—	13.0	0.47	0.284
-4	"	黒皮に錆 サンドスト	"	1.5	26.30	29.66	21.2	24.0	0.77 0.87 0.438 0.494
-5	"	サンドスト プラスチ	"	1.5	24.50	<	19.8	<	0.72 < 0.408 <
-6	"	"	"	1.3.2	<	21.58	<	18.7	< 0.68 < 0.408
-7	"	フレーム クリニンジ	"	1.5	17.73	19.28	14.3	15.6	0.52 0.57 0.296 0.321
-8	"	"	"	1.3.2	14.16	>	12.3	>	0.45 > 0.268 >
TP7-1	黒皮	1 × 4	1.5	34.43	—	15.2	—	0.55	0.287
-1	"	"	"	1.3.2	29.00	—	11.8	0.43	0.275
-2	"	"	1 × 2	1.5	18.66	<	14.3	<	0.51 < 0.311 <
TP9-1	"	"	"	1.3.2	15.00	<	12.2	<	0.43 < 0.284 <
-2	"	"	"	—	—	—	—	—	—

表-2 実り試験成績

試験片 記号	材質	表面処理	ボルト配置	1本当たり 締付力(t)	1本当たり 引り荷重(t)	ビッチ110 ビッチ66 ビッチ66 ビッチ66 ビッチ110	引り応力(kg/mm ²)	摩擦係数
ボルトN01	Weltten 50	サンダースト	1×2	1.5	2.175	3.23	6.6	ビッチ110 ビッチ66 ビッチ66 ビッチ66 ビッチ110
N02	"	"	"	"	2.54	2.81	7.7	0.29
N03	"	"	"	"	2.515	2.935	7.6	0.23
			平均	2.41	2.92		0.27	0.423
8 B	"	"	1×8	"	9.23	11.13	2.78	3.35
10 B	"	"	1×10	"	11.35	11.98	3.42	3.61
			平均				0.84	1.01
							1.04	1.09
							0.385	0.378
							0.399	0.399

表-3 実り試験成績(接着剤)

試験片 記号	材質	表面処理	ボルト配置	1本当たり 締付力(t)	1本当たり 引り荷重(t)	引り応力(kg/mm ²)	引り応力(kg/mm ²)	摩擦係数
TP 1-1 SS 4.1	ショットブレ スト	1×2	1.4	3.71	35.9	35.9	1.10	0.662
-2	"	"	"	3.48	35.9	33.7	34.7	0.621
-3	"	"	"	3.58	34.6		1.06	0.639
TP 2-1	ショットブレ ストに鍛 ス	1×2	1.4	3.71	35.9	34.7	1.10	0.662
-2	"	"	"	3.59	36.0	34.9	1.07	0.641
-3	"	"	"	3.51	34.0	34.0	1.05	0.626
TP 3-1	ショットブレ ストに接着剤	1×2	1.4	3.73	36.6	36.6	1.13	0.675
-2	"	"	"	3.98	38.5	38.5	37.2	0.710
-3	"	"	"	3.78	37.6	37.6	1.13	0.675

表-4 疲労試験片の上り荷重

種別	試験記号	材質	表面処理、 たはボルト 配置	1本当り 締付力(kgf)	引り荷重 (kg)	引り応力(kg/mm^2)			摩擦係数		
						最小	最大	平均	最小	最大	平均
リ	R-1 SS41	黒皮	2×2	—	22.5	29.0	25.4	15.6	20.2	17.7	—
ベ	R-2 SS41	"	1×4	—	20.5	22.0	21.1	14.1	15.2	14.5	—
ツ	R-3 Wellon50 ¹⁾	"	—	—	19.0	28.0	24.6	13.8	20.0	17.7	—
ト	R-4 Welcon2H サンドラスト	1×2	—	—	6.0	6.2	6.1	10.0	10.3	10.2	—
B-2	B-2 SS41	黒皮	2×2	13	28.0	36.4	31.8	19.5	25.4	22.3	0.270
ボ	B-5 " 2)	アマニ油 ⁵⁾	"	"	9.5	18.2	14.7	6.8	13.0	10.4	0.091
ル	B-6 "	メタリコン	"	"	(35.2)(40.8)			(25.0)(29.0)			0.175
ト	B-1 SS41	黒皮	1×4	13	25.4	32.7	30.4	17.7	22.8	21.0	0.244
ト	B-3 "	アマニ油 ⁵⁾	"	"	6.0	8.0	6.6	5.0	6.6	5.5	0.058
ト	B-4 "	エナメル ⁵⁾	"	"	18.0	29.0	22.5	15.0	24.0	18.5	0.173
ト	B-7 "	フレーム クリーニング	"	18	22.5	31.0	22.7	16.1	22.0	16.5	0.156
ト	B-8 ^{2) Wellon50}	"	"	"	(32.9)(43.1)			(24.0)(31.0)			0.216
ト	B-9 Welcon2H サンドラスト	1×2	15	23.7	34.6	30.6	32.4	57.6	50.8	39.5	0.577
ト	B-10 ¹⁾ 同上	接合剤	"	"	35.5	35.7	35.6	58.9	59.2	59.1	0.772
											0.774

注 1) 疲労試験片2本にに対する静的試験より求めた値

2) 疲労試験の荷重範囲では逆りを生じなかつたため、参考までに括弧内に試験荷重を記入した。

3) 材片間の上り量が0.1mmになつたときの荷重を上り荷重とした。

合は板厚の減少が考えられるので、それに基づきボルト締付力が減少し、摩擦耐力が低下しているものがあるのであろうことが考えられる。表一3のTP3、表一4のB-10は、ショットブラストまたはサンドブラストをかけた接触面に合成樹脂接着剤を塗布して締付けた継手であるが、こり応力は母材の降伏点の10.5~12.0%であり、上記の理由で、接着剤を用いて締付けた面のこり強度が最高値まで発揮されたとは考えられない。

表一4において、荷重の小さい範囲から既にこり量の大きいアマニ油塗布およびエナメル塗布のこり荷重をこり量0.1mmの荷重としたのは、リベット継手で試験に際しこの程度のこりが生じていたため、それと同程度のこりを限度と考えたものである。

3. 応力分布

図一5は、ボルト継手の応力分布で、添接板表面およびボルト孔側縁で測った歪にヤング係数 $E = 2.1 \times 10^6 \text{ kg/cm}^2$ を乗じて応力に換算したものである。Eの値は比例限を超えるべきであるが、図はEを一定として示した。図の中で、測点間の応力を結んだ線が一定値で切れているが、応力の上限を板の降伏点として示したものである。ボルト数は、図一5.1、一5.2は応力方向に2本、図一5.3は4本。

図一5.4は10本の継手である。図一5.1および2は同形の継手で、ボルト締付力0のTP6-1に比しボルト締付力1.5tのTP6-5は、孔のまわりの応力集中が小で、板の許容荷重1.5tでは未だ降伏点に達していない。図一5.3のTP7-1も板の許容荷重3.0tでは、孔の側縁応力は降伏点に到らない。しかし、応力方向のボルト数が多くなるにつれて長さ方向の応力不均一は大きくなり、端部材片間のこりも大になるので、継手横方向の応力分布は、応力集中度が大になる傾向が認められ。図一5.4の10本ボルトの継手では、

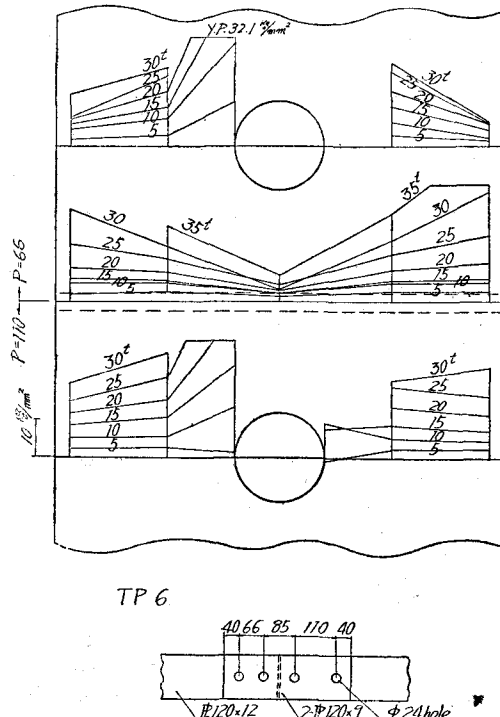


図-5.1 応力分布 TP6-1, 黒皮, N=0

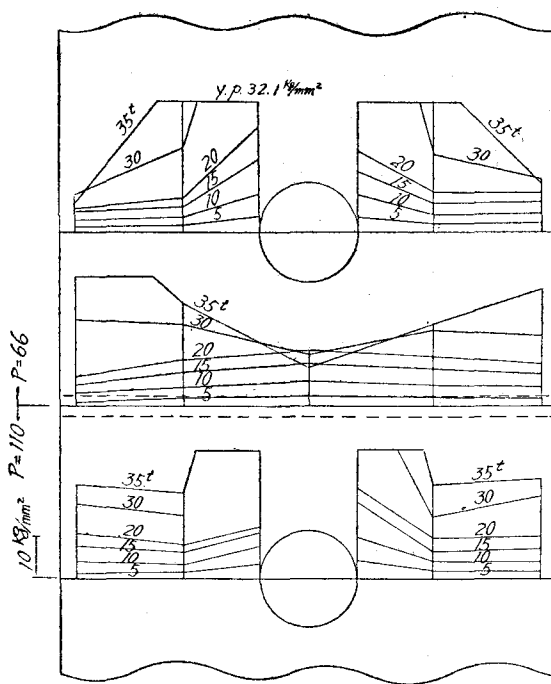


図 5.2 応力分布
TP 6-5、サンドブラスト、N=15t

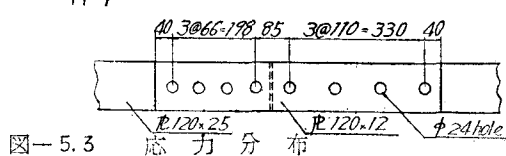
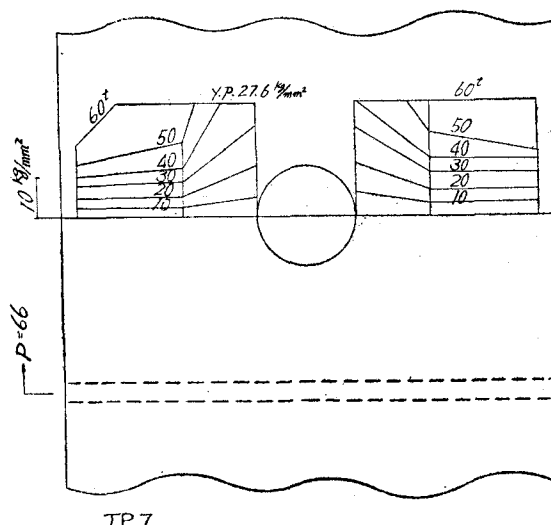


図 5.3 応力分布
TP 7-1、黒皮、N=15t

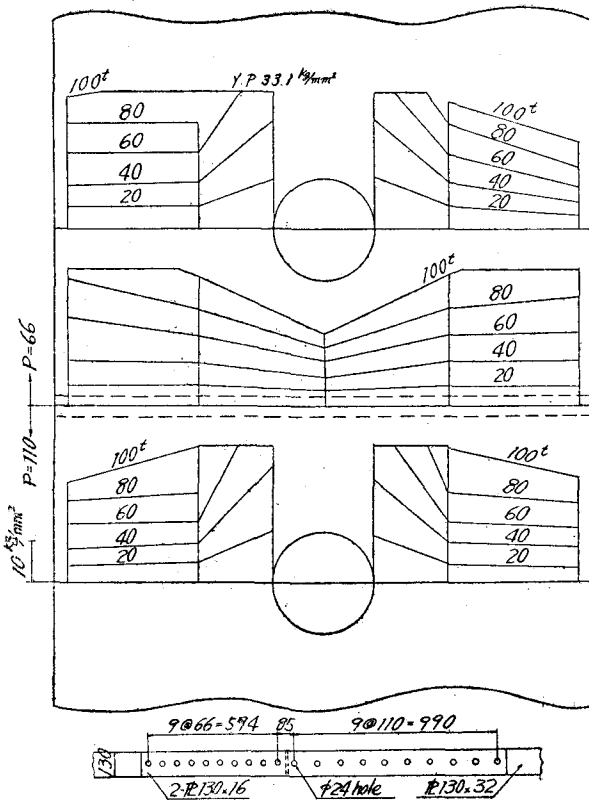


図-5.4 応力分布
10B、サンドブラスト、締付力15t

板の許容荷重60tで既に孔の側縁の応力は降伏点をこえている。

表-5は、応力分布図から求めた測定平均応力（純断面について）と荷重から計算した計算平均応力との比較を示したものである。ボルト2本、 $A_n/A_g = 0.8$ の継手では、辺り荷重の範囲で σ/σ_G は1.0以下である。しかし、同じ2本ボルトの継手でも、 $A_n/A_g = 0.7$ になると、 σ/σ_G は1.20となっている。また、ボルト4本、10本の継手では σ/σ_G は漸次大になり、板の許容荷重の範囲で σ/σ_G は1.0をやや超えるようになり、10本のものはその程度が大で、板の降伏荷重に近くなると σ/σ_G が1.0に近くなっている。これらの数値は、Eを一定として換算したこと、測点間の応力を直線で結んだ応力分布図より求めていること、応力の上限を降伏点でおさえていていること等により正確なものとはいえないが、摩擦継手の応力性状の、孔控除率およびボルト数に関する傾向を示しているものといえる。

表-5 測定平均応力と計算平均応力の比較

試験片	A_n/A_g	ボルト配置	ボルトピッチ (mm)	辺り荷重 (t)	荷重 (t)	測定平均応力 $\sigma(kg/mm^2)$	σ/σ_g ²⁾	σ/σ_n ³⁾
TP 6-4	0.80	1×2	66	26.3	15	9.6	0.99	0.80
					30	20.7	1.07	0.86
TP 6-5	0.80	1×2	66	24.5	15	9.1	0.94	0.75
					30	21.2	1.09	0.88
					110	24.5<	1.01	0.81
TP 6-8	0.80	1×2	66	14.16	15	7.8	0.75	0.60
					15	6.8	0.65	0.52
					30	21.1	1.01	0.81
TP 7-1	0.80	1×4	66	34.43	20	6.8	0.97	0.78
					25	8.9	1.01	0.81
					30	11.2	1.05	0.84
					50	20.3	1.15	0.92
					66	18.66	1.20	0.84
TP 9-1	0.70	1×2	66	113.5	15	9.7	1.20	0.84
					60	17.2	1.17	0.95
					80	23.8	1.21	0.99
					100	29.8	1.21	0.99
					60	15.8	1.07	0.88
10B	0.815	1×10	110	119.8	80	22.4	1.14	0.93
					100	29.4	1.20	0.97

注 1) 純断面積／総断面積

2) σ_g : 総断面についての計算平均応力3) σ_n : 純断面についての計算平均応力

表-6 疲労試験結果

試験片種別	記号	リベットまたはボルト配置	材質	表面処理	200万回実験強さ(純断面につき) kg/mm ²		200万回強さ(純断面につき) kg/mm ²		200万回強さと降伏点との比	素材200万回強さとの比
					上限	下限	片振	両振		
リベット	R-1	2×2	SS41	黒皮	22	~	2	20		0.84
	R-2	1×4	SS41	黒皮	17	~	2	15		0.63
	R-3	"	Welten 50	黒皮	15	~	2	13		0.38
	1)	1×2	Welten 50	黒皮	15.2	~	0	15.2		0.46
	R-4	1×2	Welcon 2H	サンドブラスト	21.5	~	0	21.5		0.37
ボルト	B-2	2×2	SS41	黒皮	25	~	2	23		0.97
	B-2	"	"	"	14	~	-14		±14	0.59
	B-5	"	"	アマニ油	20	~	2	18		0.62
	B-6	"	"	メタリコン	25	~	2	23		0.80
	B-1	1×4	SS41	黒皮	23	~	2	21		0.88
	B-1	"	"	"	11	~	-11		±11	0.46
	B-3	"	"	アマニ油	15	~	2	13		0.45
	B-4	"	"	ニナメル	19.5	~	2	17.5		0.61
	B-7	"	"	フレームクリーニング	24	~	2	22		0.76
	B-8	"	Welten 50	"	23	~	2	21		0.61
素材および有孔板	B-9	1×2	Welcon 2H	サンドブラスト	26.5	~	0	26.5		0.45
	B-10	"	"	接着剤	26.5	~	0	26.5		0.45
	P-1	素材	SS41	黒皮	25	~	2	23		0.80
	1)	"	Welten 50	"	28.5	~	0	28.5		0.87
	P-2	"	Welcon 2H	"	26.5	~	0	26.5		0.45
	S-1	有孔板	SS41	"	14	~	2	12		0.42
	S-2	リベット締	"	"	14	~	2	12		0.42
	S-3	ボルト締	"	"	18	~	2	16		0.55
										0.70

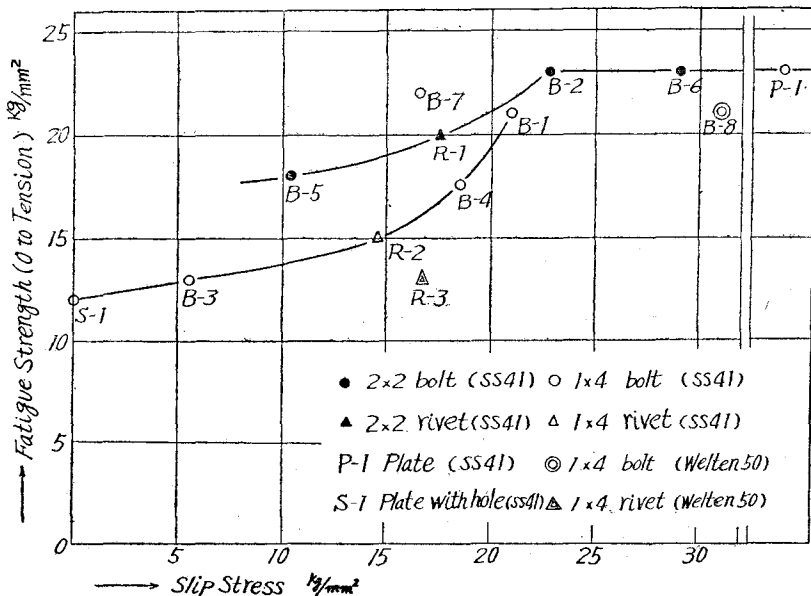
注 1) 高張力鋼鉄道橋研究委員会資料 No. 75 京都大学小西教授に試験を依頼したもの。

4. 疲 労 強 度

SS41、Welten50、Welcon2Hに対する素材、リベット継手およびボルト継手の疲労試験結果を表一6に示す。応力はすべて純断面について計算した値である。

リベット継手、ボルト継手とも1列の数が多い方が疲労強度が低いことは、長さ方向の応力の不均一、前記の応力分布のデータ等からもうなづける。

また、SS41のリベット継手よりWelten50のものの方が2本リベット、4本リベットいずれの場合も疲労強度が小さく、2H鋼素材はWelten50よりやや小さい値となり、静的強さが大きなものも、疲労強度は必ずしも大ではないから、疲労の影響を考慮する必要のある構造物には設計に当って注意を要する。



図一6 片振疲労強度と辺り応力の関係

図一6は、片振疲労強度と辺り応力(表一4参照)との関係を図示したもので、辺り応力が大になると疲労強度が大になることが分る。

図一7は、2H鋼の素材および継手のS-N曲線である。SV41リベットを使用した継手の疲労強度は、素材の81%に低下している。ボルト継手および接着剤併用したボルト継手の静的荷重に対する辺り応力は、表一4に示した如く母材の降伏点に近く、或はやや高い値を示したが、動荷重に対し、金属接触面をもつボルト継手では荷重2.75t、辺り応力45.5^{kg/mm²}で線

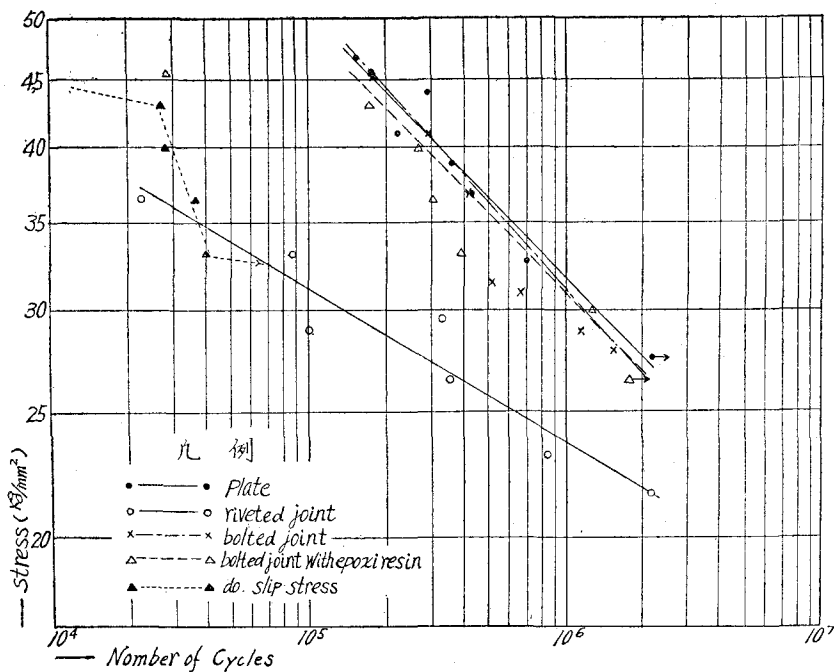


図-7 2H鋼素材及び継手のS-N曲線

返し数200回で継手が辻り、破断までの繰返し数が少かった1例を除き、以下の荷重では試験中継手の辻りは生じなかった。しかし、接着剤を併用した継手においては、応力33kg/mm²以上の試験では試験中に辻りが生じ、応力30kg/mm²以下の試験では破断まで辻りは生せず、この両範囲で、S-N曲線の傾斜が異なるように考えられる。しかし、200万回片振疲労強度としては、ボルト継手および接着剤を併用したボルト継手ともにリベット継手より高く、両者の強度はほぼ同じで、素材の疲労強度と同等の強さを示している。

なお上記の疲労試験で、試験片の破断はすべて母材からである。

5. むすび

上記の実験を行うに当っては、国鉄技術研究所構造物研究室多田室長、伊藤技師をはじめ、構造物研究室、物理試験研究室の各氏、東大奥村教授の御指導により36年卒業の石川二郎君(現在八幡製鐵)、石川島播磨重工技術研究所、横河橋梁、松尾橋梁、三菱造船広島造船所の研究室の各氏の御協力によったことを記し感謝の意を表する。なお、試験費の一部は文部省科学研究費によったものである。